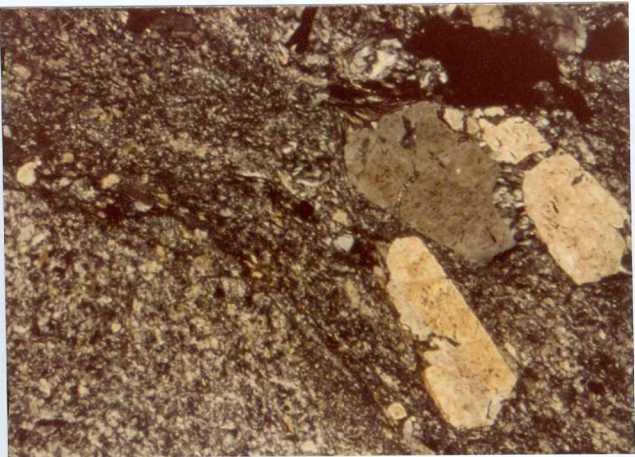


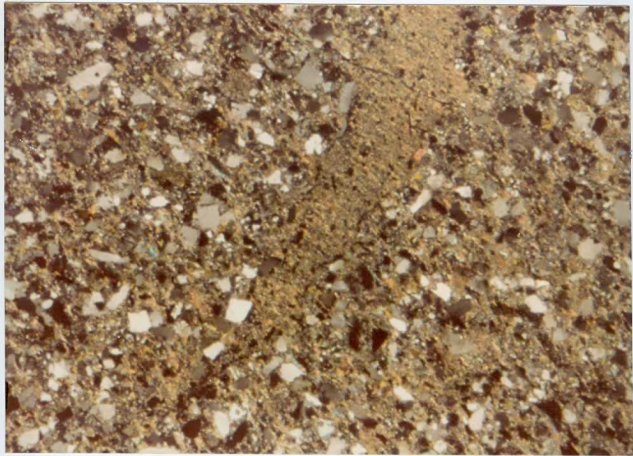
F-1.- Microfotografía de la lámina delgada JF 18. Monzodiorita con piroxeno. (Stock de Valencia del Ventoso). Anfíbol tchermakítico (verde-oliva), orlado a hiperstena (amarillo dorado) en el centro superior derecho de la foto. Cristales de piroxeno pigeonítico en el centro izquierda (beige claro), en contacto con hiperstena (gris y dorado). Feldespato potásico intersticial junto con cuarzo en el borde derecho de la fotografía. (Con analizador x 27)



F-10.- Microfotografía de la lámina JF 112. Serpentinitas de la formación Malcocinado. Restos de piroxeno de finidos por orientación de opacos en planos 110, - en una masa totalmente transformada en antigorita (sin analizador x 27)



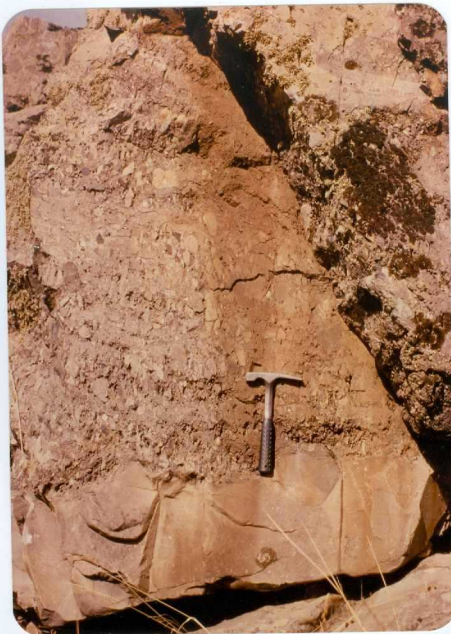
F-11.- Microfotografía de la lámina JF 75. Tobas andesíticas de la formación Malcocinado. Fenoclastos de plagioclasa y trozos lávicos en una mesostasis de cuarzo-clorita (con analizador x 27)



F-12.- Microfotografía de la lámina JF 393. Miembro inferior de la formación Torreárboles. Metagrauvaca - con cantos blandos (centro de la foto)



F-13.- Niveles conglomeráticos (conglomerado de Sotillo)
Formación Malcocinado.



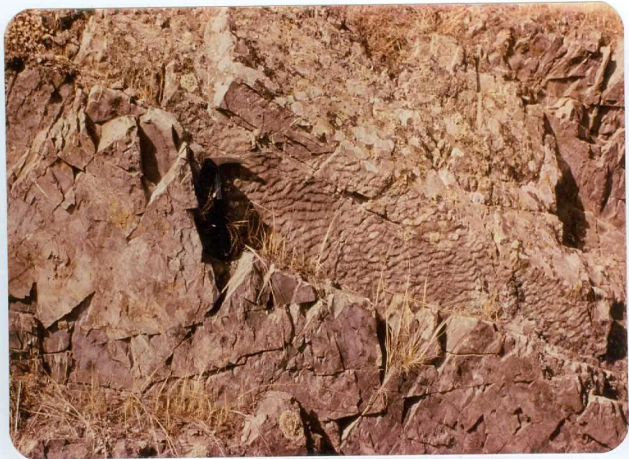
F-14.- Paleocanal en el Miembro inferior de la formación Torre árboles (Unidad de Cabeza Gorda)



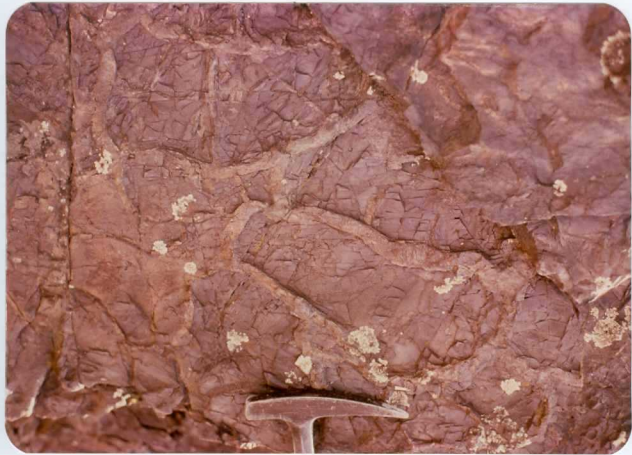
• F-15.- Niveles conglomeráticos (parconglomerados) intercalados en el Miembro inferior de la formación - Torreárboles.



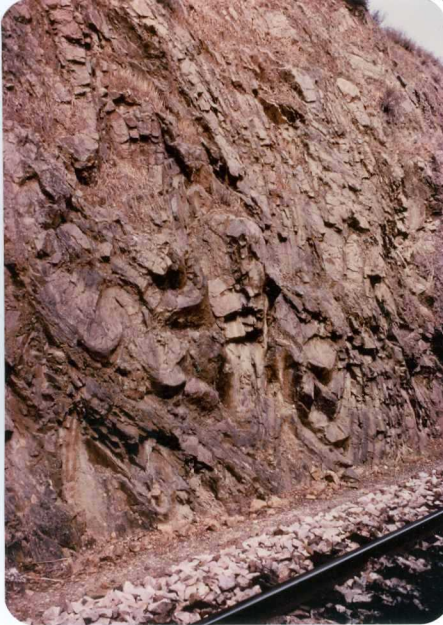
F-16.- Niveles conglomeráticos (paraconglomerados), intercalados en el Miembro inferior de la formación - Torreáboles. Canto decimétrico de cuarcita blanca



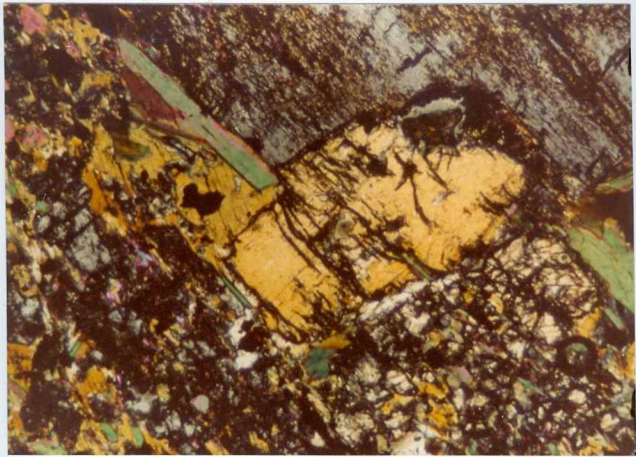
F-17.- Rizaduras en la base del Miembro superior de la formación Torreáboles.



F-18.- Grietas de desecación. Base del Miembro superior de la formación Torreárboles



F-19.- Pliegues métricos en las "capas de Zafra"



F-2.- Microfotografía de la lámina delgada JF 324. Grano diorita hornblendica con hiperstena (stock de Valencia del Ventoso). Detalle de un cristal de hiperstena (con analizador, x 27)



E-20.- Brecha intraformational y pliegues de slump - en las "capas - de Zafra".



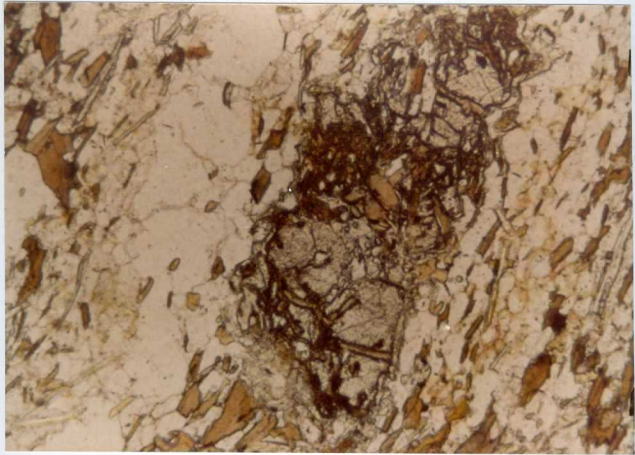
* F-21.- Pliegues de slump en las capas de Zafra



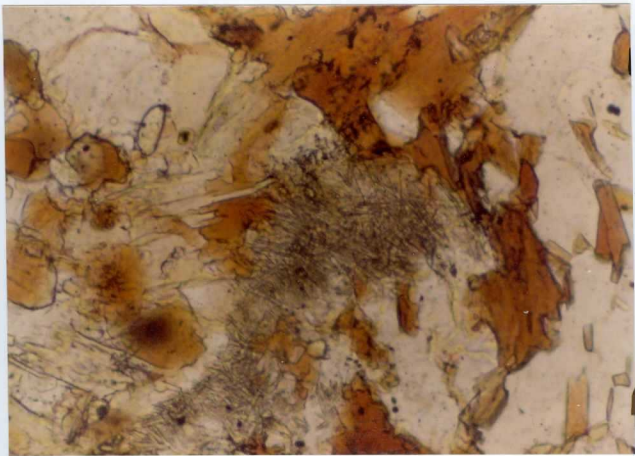
F-22.- Capas de Zafra. Alternancia de pizarras y calizas.
Pliegues de slump, centimétricos.



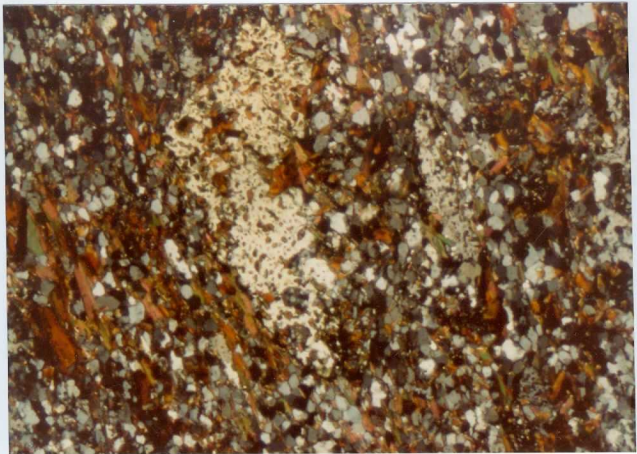
F-3.- Microfotografía de la lámina delgada JF 1. Diorita-monzodiorita. Mosaico heterogranular de plagioclasa (andesina-labrador), anfíbol tschermakítico (color amarillo dorado y marrón-verdoso en la foto) y biotita en placas (color rojo-verdoso) (con analizador x 27).



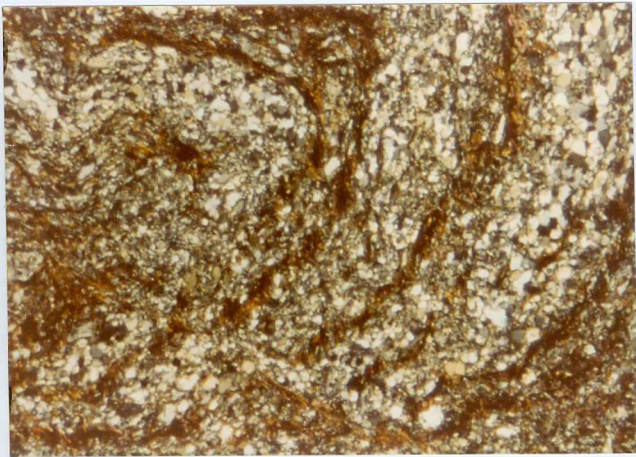
F-4.- Microfotografía de la lámina delgada JF 373. Esquísitos cuarzo-biotíticos de la sucesión Montemolín. - Cristal de andalucita pre S_2 (sin analizador, x 27)



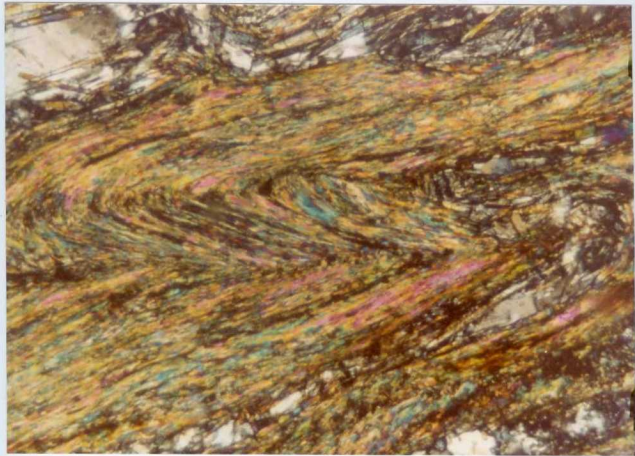
F.5.- Microfotografía de la lámina delgada JF 293. Esquísitos cuarzo-biotíticos afectados de metamorfismo de contacto. Afieltrado de agujas de sillimanita de origen térmico (sin analizador, x 225).



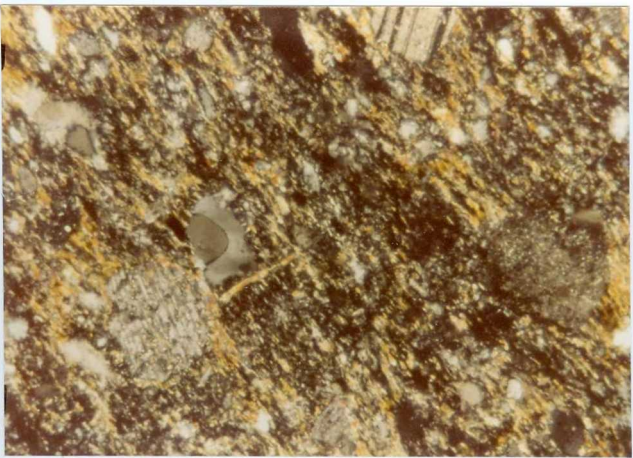
F-6.- Microfotografía de la lámina JF 283. Esquistos cuarzobiotíticos de la sucesión Montemolín, afectados - de metamorfismo de contacto. Peciloblastos de coidierita (beige-claro y gris) de origen térmico (con analizador x 27).



F-7.- Microfotografía de la lámina AG 3019. Esquists cuarzobiotíticos de la sucesión Montemolín. Charne la de micropliegue centimétrico de tercera fase. - (con analizador, x 27).



F-8.- Microfotografía de la lámina delgada AG 3010. Anfibolitas de la sucesión Montemolín. Micropliegues de tercera fase, definidos por cristales de actinolita (con analizador, x 90)



F-9.- Microfotografía de la lámina delgada JF 301. Metagrauvacas volcanoclasticas de la sucesión Tentudía Unidad de Alconera (con analizador, x 90)